



UMSHA Press



Original Article



Investigating the Effective Factors in the Positioning of the Vehicle's Multimedia with the Approach of Mitigating the Reflection While Nighttime Driving

Mahdi Ganji¹ , Milad Karimi^{1*} , Behnoush Bahari¹

¹ Department of Research & Development of Iran Khodro, Ergonomics & Packaging Unit, Tehran, Iran

Abstract

Article History:

Received: 23 December 2024

Revised: 07 March 2025

Accepted: 09 March 2025

ePublished: 20 March 2025

Objectives: Nowadays, using digital displays in vehicles has become very common. Therefore, the reflection display screen issue as a virtual image on the vehicle's side windows at night is a controversial item in the ergonomics position of the designed display. Given the high importance of visual tasks, it is necessary to consider ergonomics considerations during vehicle design to achieve an optimal display position.

Methods: In the current study, by identifying the factors affecting the placement of the central display inside the vehicle and assigning level values for them, using the design of experiment statistical method with the full factorial approach, 243 runs were obtained from the combination of the identified factors using MINITAB (version 18) software. By implementing all the extracted runs, the amount of reflection from the central display on the side windows was subjected to statistical analysis of variance (ANOVA).

Results: Significantly effective factors (including their interactions) on the response of the reflection of the virtual image on the critical vision zone and the total reflection on the driver's right and left side windows were identified. In addition, the amount/direction of the factors' effect on the responses was analyzed using a linear regression model.

Conclusion: During the interior design process of the vehicle and display packaging, the factors identified in this study can be used as a control tool to reduce or eliminate the concern of the amount of display reflection on the side windows to prevent driver's ergonomics problems during nighttime driving.

Keywords: Design of experiment (DOE), Ergonomics design, Multimedia, Nighttime driving, Reflection

*Corresponding author: Milad Karimi, Department of Research & Development of Iran Khodro, Ergonomics & Packaging Unit, Tehran, Iran

Email: Mi.karimi@ikco.ir



Copyright © 2025 Iranian Journal of Ergonomics. This is an open-access article distributed under the terms of the Creative Commons Attribution-NonCommercial 4.0 International License (<http://creativecommons.org/licenses/by-nc/4.0/>) which permits copy and redistribute the material just in noncommercial usages, provided the original work is properly cited

Extended Abstract

Background and Objective

Given the increasing trend of using large-sized digital displays in vehicles with the aim of providing more facilities to passengers, as well as the tendency of automakers to use these displays without protection, the development of a virtual image resulting from the reflection of the display screen on the side windows while driving at night is considered a serious challenge. In this case, the virtual image formed, if it appears in the driver's effective field of vision, can affect the visual tasks of driving. Since most driving information is received through the sense of sight, the presence of annoying reflections while driving at night increases the risk of driver error in decision-making. Since a large part of the driver's concentration is made up of side vision, the presence of distracting information can increase distraction for drivers. Moreover, interference with the driver's vision, especially the view of the side mirrors through the windows, can prevent the driver from seeing the mirror cup and consequently reduce the field of vision for seeing the rear of the vehicle. Therefore, it is necessary to take the required measures to design the ergonomics of the central display position inside the car by controlling important and influential factors.

Materials and Methods

In the present study, by identifying the effective factors in the placement of the central display inside the car and determining a range of values for them, 243 cases of the combination of the identified factors were obtained using the statistical method of experimental design with the full factorial design approach, employing the MINITAB (version 18) software. By implementing all the extracted cases, the amount of reflection from the central display on the side windows was subjected to statistical analysis of variance (ANOVA). In determining the amount and position of the formation of virtual images from the display, the law of reflection was applied, according to which the angle of light from the display to the driver's eye is equal to the angle of its reflection. Outputs in the present study included the area of the virtual image reflected on the sensitive area of the side window and the total area of the virtual images reflected on both the driver's right and left windows. In determining the influencing factors, an attempt was made to consider all factors that can be controlled during interior design. The quantitative levels of these factors were also based on logical and reasonable values, which are common in automotive design. This is the result of modeling a large number of examples on reputable vehicle benchmarking websites (A2MAC1).

Results

Statistically, the influencing factors (including their interactions) on the output of the amount of reflection of the virtual image on the sensitive area of vision and the total reflection on the driver's right and left side

windows were identified. The effect of changes in these factors was analyzed to address ergonomic concerns regarding the ease of driver vision through the side windows. For each of the outputs, one-way, two-way, three-way, four-way, and five-way analyses of variance were conducted, with a confidence level of 95% ($P < 0.05$). The statistical effect of each factor individually and the possible interactions between them were assessed. Finally, by presenting a linear regression model, the amount and manner of influence of the factors were discussed and examined.

Discussion

According to the statistical analysis conducted with a 95% confidence level, a linear regression equation was extracted for the total reflection formed on the side windows, which provides insights into the effect of each factor individually and different interaction modes. Using this linear regression equation, the direction of influence of the factors and the various interactions between them on the output were compared and evaluated. Accordingly, one of the important factors in reducing the virtual image formed on the side windows is the rotation of the display toward the driver, as the analysis of variance indicated that the more the display is tilted toward the driver, the lower the amount of the virtual image formed on both the right and left windows. Additionally, the higher the display is placed (downward) relative to the driver's eyes, the lower the probability of the formation of a virtual image on the side windows. Other important factors in the placement of the central display include ergonomic aspects, such as the ease of viewing the display and ease of access, which according to the analysis of variance, have a relative effect on reducing the amount of reflection formed on the side windows.

Conclusion

In general, the findings of the present investigation indicate that the factors identified can serve as a control tool during the interior design process of the vehicle and when placing the display, aimed at reducing or eliminating concerns regarding the amount of reflection (virtual image) of the display on the side windows. This is crucial for preventing ergonomic problems related to the driver's vision when driving at night, especially at intersections with low ambient light. The present work aimed to reduce or completely eliminate the risk of creating virtual images reflected on the windows by implementing initial measures during the design process. This proactive approach allows for necessary actions to be taken before the product is manufactured, addressing the aforementioned risk at the lowest possible cost. It is suggested that conducting additional research in a laboratory environment to identify the impact of other factors on the quality of the virtual image formed on the side windows could be beneficial.



مقاله پژوهشی

بررسی عوامل موثر در جانمایی نمایشگر مرکزی خودرو با رویکرد کاهش انعکاس هنگام رانندگی

در شب

مهدي گنجي^۱ ، ميلاد كريمي^{۱*} ، بهنوش بهاري^۱ 

^۱ مرکز تحقیقات شرکت ایران خودرو، بخش پکیجینگ ارگونومی، تهران، ایران

چکیده

اهداف: امروزه استفاده از نمایشگرهای دیجیتال داخل خودرو، فراوانی زیادی پیدا کرده است؛ از این رو، بحث انعکاس صفحه نمایشگر به صورت تصویر مجازی روی شیشه‌های جانبی خودرو هنگام شب، از مباحث بحث برانگيز در طراحی موقعیت ارگونومی نمایشگر است. با توجه به اهمیت فراوان و ظایف بصری، لازم است در فرایند طراحی خودرو ملاحظات ارگونومی، جهت طراحی موقعیت بهینه نمایشگر صورت پذیرد.

روش کار: در پژوهش حاضر با شناسایی عوامل موثر در جانمایی نمایشگر مرکزی در داخل خودرو و تعیین بازه مقداری برای آن‌ها، با استفاده از روش آماری طراحی آزمایش به روش طراحی عاملی كامل، ۲۴۳ حالت از ترکیب عوامل شناسایی شده با استفاده از نرمافزار MINITAB نسخه 18، حاصل شد و با اجرای تمامی حالت‌های استخراج شده، میزان انعکاس ناشی از نمایشگر مرکزی روی شیشه‌های جانبی، تحلیل آماری واریانسی (ANOVA) شد.

یافته‌ها: عوامل موثر به لحاظ آماری (شامل برهمنش آن‌ها)، بر روی خروجی میزان انعکاس تصویر مجازی روی ناحیه حساس دید و مجموع انعکاس روی شیشه سمت راست و چپ رانندگان شناسایی شد و با ارائه مدل رگرسیون خطی، میزان و نحوه اثرگذاری عوامل روی خروجی‌های بیان شده، تحلیل شد.

نتیجه‌گیری: حین فرایند طراحی داخلی خودرو و هنگام جانمایی نمایشگر، می‌توان عوامل شناسایی شده را در این پژوهش به عنوان ابزاری کنترلی جهت کاهش بازیابی نگرانی میزان انعکاس نمایشگر روی شیشه‌های جانبی به کار گرفت تا از بروز مشکلات ارگونومی دید راننده، هنگام رانندگی در شب، جلوگیری شود.

کلید واژه‌ها: طراحی ارگونومی، نمایشگر مرکزی، رانندگی در شب، انعکاس، طراحی آزمایش

ایمیل: Mi.karimi@ikco.ir

استناد: گنجي، مهدى؛ كريمى، ميلاد؛ بهاري، بهنوش. بررسی عوامل موثر در جانمایی نمایشگر مرکزی خودرو با رویکرد کاهش انعکاس هنگام رانندگی در شب. مجله ارگونومی، زمستان ۱۴۰۳؛ ۱۲(۴): ۲۸۰-۲۶۳.

مقدمه

رانندگی در شب دارد، به گونه‌ای که هرچه دمای رنگی نور چراغ خودروهایی که از رویه رو نزدیک می‌شوند کمتر باشد، تاثیر کمتری در درک راننده از شدت نور دریافتی دارد و در نتیجه مزاحمت کمتری برای چشم راننده ایجاد می‌کند [۱]. پژوهشی دیگر در این باره نشان داده است که زمانی که اجسام نورانی و یا روشن (چه تزئینی و چه نمایشگرهای) روی شیشه خودرو منعکس می‌شوند، اگر در میدان دید راننده قرار گیرند، می‌توانند باعث حواس پرتی و تحریک سیستم بینایی شوند؛ چراکه راننده در این حالت در معرض اطلاعاتی قرار می‌گیرد که ارتباطی با وظایف رانندگی ندارد، همچنین ایجاد تصویر مجازی ناشی

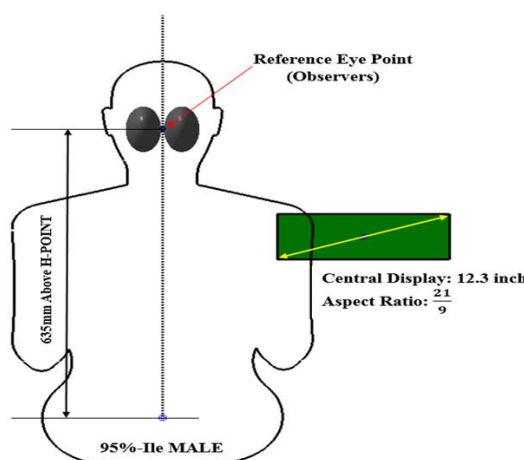
رانندگی در شب یکی از چالش‌انگیزترین موقعیت‌های رانندگی است و اغلب آمار سوانح رانندگی، هنگام شب است. موضوع چالش‌های رانندگی در شب تاکنون در پژوهش‌های زیادی با هدف شناسایی موارد بحرانی و موثر، بررسی شده است. از جمله موارد اشاره شده در این باره کاهش دید رانندگان با توجه به تابش‌های خیره‌کننده و مزاحمت ناشی از نور چراغ خودروهایی است که از رویه رو نزدیک می‌شوند و باعث می‌شوند برای لحظه‌ای قدرت دید راننده مختل شود [۱]. همچنین دمای رنگ نور چراغ‌هایی که از رویه رو نزدیک می‌شوند عامل دیگری است که تاثیر مستقیم را در میزان ایجاد مزاحمت برای راننده هنگام

باشد یا به حداقل برسد. در تحقیق حاضر با شناسایی عوامل مهم در موقعیت دهی نمایشگر مرکزی و با استفاده از طراحی آزمایش آماری به روش طراحی عاملی کامل، ارزیابی واریانسی صورت گرفته است تا بتوان ابتدا عوامل موثر آماری را شناسایی و در نهایت حین فرایند طراحی داخلی خودرو، موقعیت ارگونومی آن را کنترل کرد.

روش کار

با توجه به اینکه حالت‌های مختلفی از جانمایی نمایشگر مرکزی در طراحی داخلی خودرو وجود دارد، جهت ارزیابی معنادار بودن عوامل متفاوت، در جانمایی این تجهیز به لحاظ آماری بر روی یک خروجی خاص مانند امکان تشکیل انکاس روی شیشه‌های جانبی، نیاز به اجرای طراحی آزمایش آماری است. روش بیان شده یکی از ابزارهای مهم در تحلیل تاثیرگذاری عوامل مختلف روی خروجی مد نظر است. روش‌های متفاوتی برای طراحی آزمایش آماری وجود دارد، از جمله طراحی عاملی کامل، تاگوچی و ...؛ در هر روشی که برای طراحی آزمایش انتخاب شود، لازم است ابتدا عوامل مهم به عنوان متغیر مستقل شناخته و برای هر کدام سطوح مقداری مربوط استخراج شود [۹]. پیش از تعریف عوامل و سطح مقداری آن‌ها، مفروضاتی که در این تحقیق در نظر گرفته شده است، به شرح ذیل است:

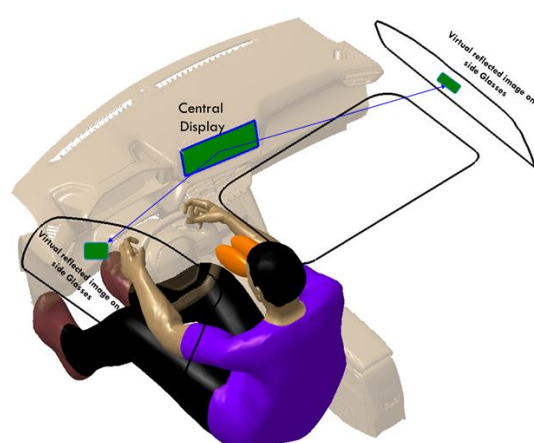
- در تحقیق پیش رو نقطه مبنای نشیمن آدمک طراحی (نماینده طیف صدک قدی مرد ۹۵ درصد)، و همچنین مکان هندسی ۹۵ درصد، استخراج شده است [۱۰]. نقطه مبنای ناظر جهت آنالیز انکاس، نقطه ۶۳۵ mm بالاتر از نقطه نشیمن لحاظ شده که تقریباً نقطه میانی بیضی چشم است [۱۱] (شکل ۱).



شکل ۱. مشخصات آدمک صدک قدی ۹۵٪ مرد و نمایشگر مرکزی ۱۲ اینچ

- در تحلیل صورت گرفته، شیشه چلو لحاظ نشده و فرض شده است نمایشگر دارای کلاهک محافظت جهت ممانعت از تابش روی شیشه چلو است، به نحوی که مانع اصابت اشعه‌های تابیده شده از سمت نمایشگر به سمت شیشه چلو (در نواحی حساس دید مثل B-Zone و A-Zone) می‌شود [۱۲].

از نمایشگرهای روی شیشه چلو نیز مصدق انکاس در شب است که با جانمایی صحیح نمایشگر می‌توان آن را تا حد ممکن کاهش داد [۱۳]؛ از آنجایی که رانندگی یک فعالیت پیچیده است و نیازمند سطح بالایی از آگاهی است، لازم است توجه بیشتری به مواردی که آگاهی محیطی راننده را مختل می‌کنند، صورت پذیرد [۱۴]. ضمن اینکه فرایند ادراک در رانندگی یک عامل کلیدی در رانندگی به شمار می‌رود، بنابراین، لازم است به ادراک بصری راننده از محیط، توجه شود [۱۵]. بیشتر پژوهش‌های صورت گرفته درباره معضلات رانندگی در شب، اشاره به نورهای مزاحم ناشی از ماشین‌هایی است که از رو به رو نزدیک می‌شوند؛ اما با توجه به افزایش و تنوع نمایشگرهای دیجیتال داخل خودرو و همچنین ارائه امکانات مختلف با این نمایشگرهای طراحی و جانمایی این تجهیز از اهمیت زیادی برخوردار است؛ چراکه از معضلات موجود درباره این تجهیز، امکان تشکیل انکاس آن‌ها روی شیشه‌های جانبی هنگام رانندگی در شب است [۱۶]. در این حالت پرتوهای نور از سطح نمایشگر به سمت شیشه‌های جانبی می‌تابد و احتمال ایجاد تصویر مجازی از منظر چشم راننده را به روی شیشه‌های جانبی به همراه خواهد داشت. مورد بیان شده شکایت رانندگانی را که با چنین پدیده‌ای هنگام رانندگی در شب مواجه هستند، در پی دارد [۱۷]. همچنین باعث از بین رفتن بخشی از دید جانبی سرنشینان از خلال شیشه‌های جانبی می‌شود. با توجه به اهمیت دید جانبی و تاثیر آن بر روی تمرکز (کاهش حواس پرتی) راننده، می‌بایست در ابتدای فرایند طراحی، پتانسیل تشکیل انکاس‌های آزاردهنده را همواره به حداقل رساند [۱۸]. در طراحی موقعیت ارگونومی نمایشگر، می‌بایست تمامی عوامل تاثیرگذار در چیدمان صحیح را لحاظ کرد تا امکان ایجاد انکاس‌های آزاردهنده در نواحی موثر دید (مانند راستای دیدن آینه‌های جانبی) وجود نداشته



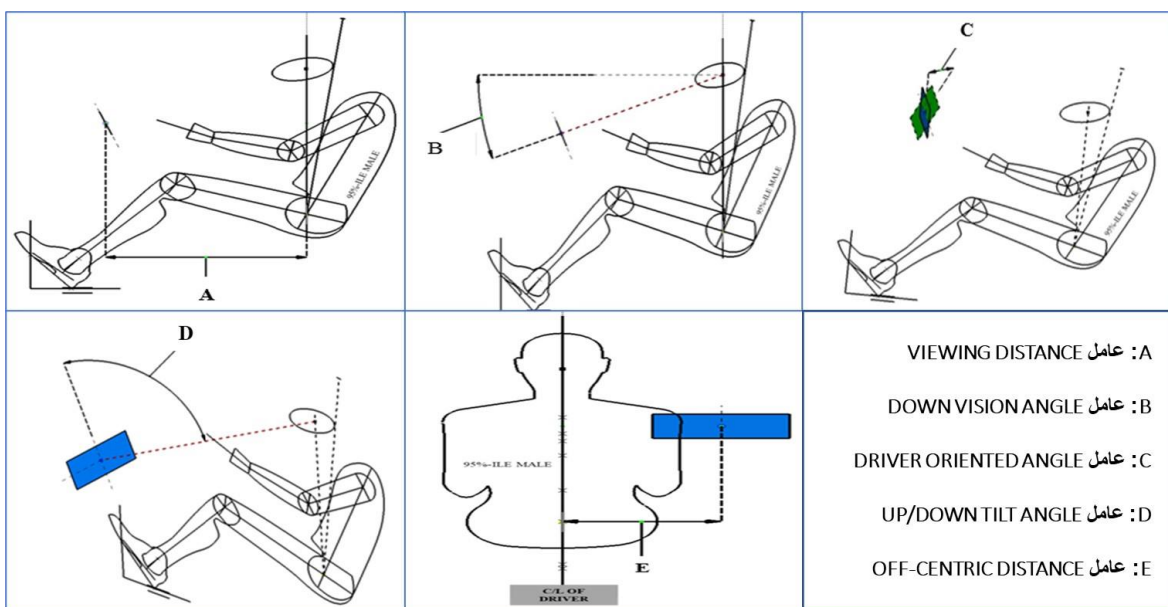
- ابعاد نمایشگر ۱۲.۳ اینچ و به صورت افقی و با نسبت ابعادی ۲۱ به ۹ در نظر گرفته شده است. از آنجایی که مرکز نمایشگر، جهت موقعیت دهی بر اساس عوامل موثر مورد بحث استفاده شده است، تفسیر نتایج می‌تواند قابل تعمیم به نمایشگر با نسبت ابعادی دیگر نیز باشد (شکل ۱).

- است. در ادامه توضیحاتی درباره جدول (۱) آمده است.
- عامل Viewing Distance که با حرف A کدگذاری شده است، فاصله افقی نقطه مبنای دید (۶۳۵ mm بالاتر از نقطه مبنای نشیمن) از مرکز نمایشگر است (شکل ۲).
 - عامل Down Vision Angle با حرف B کدگذاری شده است و زاویه رو به پایین میان خط واصل مرکز نمایشگر تا نقطه مبنای دید و جهت افقی است [۱۳] (شکل ۲).

مقادیر یا بازه تغییراتی که برای یک عامل انتخاب می‌شود می‌بایست معقول و منطقی انتخاب شود، به گونه‌ای که حالات متفاوت تغییرات عامل مد نظر را پوشش دهد و بازه مقداری درنظر گرفته شده، کاربردی باشد. روش طراحی آزمایش انتخاب شده در این تحقیق طراحی عامی کامل انتخاب شده است که امکان ترکیب تمامی حالات ممکن از عوامل و سطوح مقداری آن‌ها را میسر می‌سازد؛ بنابراین، دقیق‌تر از سایر روش‌ها است. برای این منظور تعداد پنج عامل در سه سطح ارزیابی شده و جزئیات عوامل در جدول (۱) نشان داده شده

جدول ۱. عوامل و سطح تغییرات هر عامل در آزمایش طراحی شده (هر عامل با یک کد مشخص شده است و شامل سه سطح مقداری است)

عوامل	کد	سطح
Viewing Distance	A	میلی متر (۶۵۰ ۷۵۰ ۸۵۰)
Down Vision Angle	B	درجه (۱۵ ۲۰ ۲۵)
Driver Oriented Angle	C	درجه (۰ ۱۰ ۲۰)
Up/Down Tilt Angle	D	درجه (۸۰ ۹۰ ۱۰۰)
Off-Centric Distance	E	میلی متر (۲۰۰ ۳۰۰ ۴۰۰)



شکل ۲. نمایش عوامل درنظر گرفته شده در طراحی آزمایش

استفاده از ۵ عامل و هر کدام در ۳ سطح مقداری انجام شده و بر اساس الگوریتم طراحی عامی کامل (تعادل عوامل) (تعادل سطوح) = تعداد آزمایش، تعداد آزمایش پیشنهاد شده که حاصل ترکیب سطوح مقداری عوامل متفاوت است (جدول ۱ ضمیمه)؛ همچنین تعداد تکرار در آزمایش، یک در نظر گرفته شده است (جدول ۲). بعد از تعیین تعداد آزمایش‌ها، لازم است خروجی‌های مدنظر تعریف شوند که در پژوهش حاضر مساحت تصویر مجازی که از آن با عنوان انعکاس یاد شده در نظر گرفته شده است. خروجی‌هایی که در طراحی آزمایش صورت گرفته استفاده شده است، میزان انعکاس روی ناحیه موثر دید شیشه‌های جانبی (چپ / راست) و مجموع انعکاس‌های ایجاد شده روی شیشه‌های جانبی سمت راست و چپ راننده است.

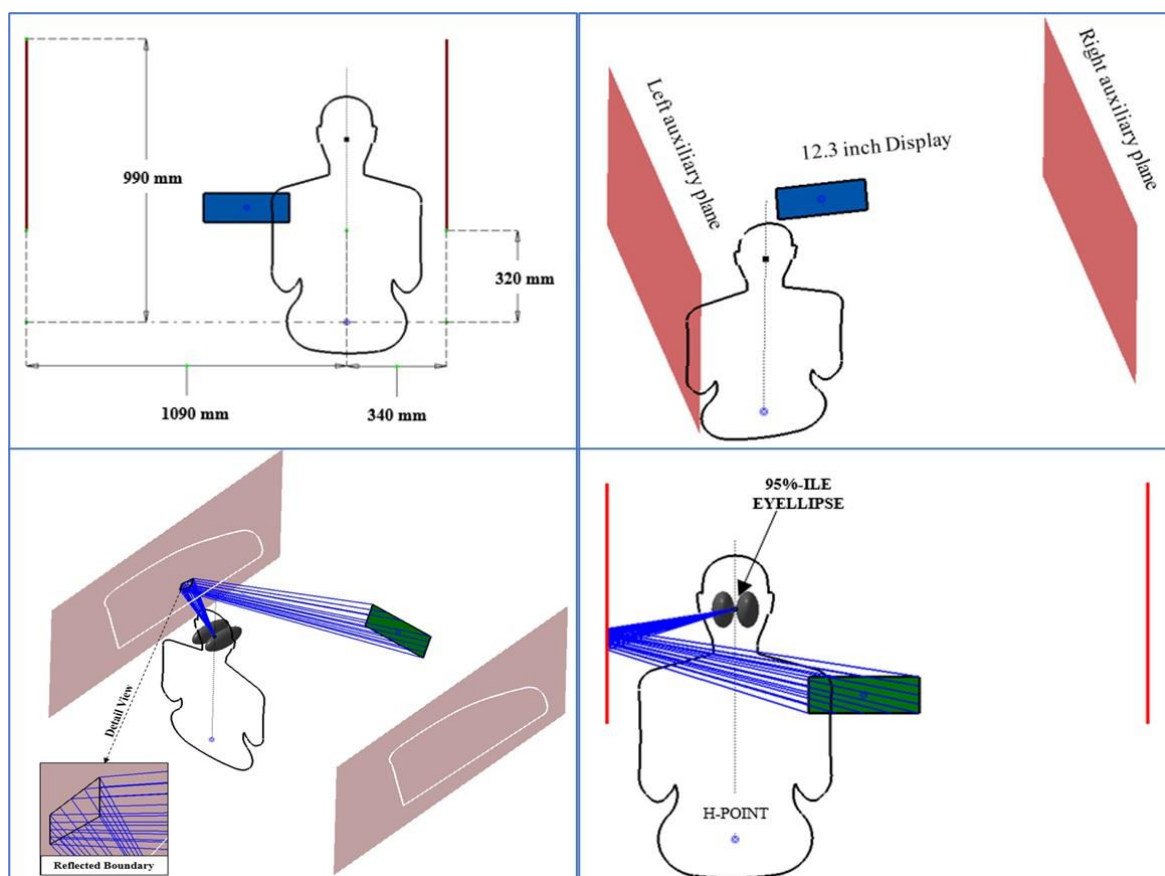
- عامل Driver-Oriented Angle با حرف C کدگذاری شده است و بیانگر میزان چرخش نمایشگر به سمت راننده است که محور مبنای آن خط قائم گذرنده از مرکز نمایشگر است (شکل ۲).
- عامل Up/Down Tilt Angle با حرف D کدگذاری شده است و بیانگر میزان چرخش نمایشگر به سمت بالا / پایین است که زاویه میان خط واصل نقطه مبنای دید تا مرکز نمایشگر و سطح نمایشگر است (شکل ۲).
- عامل Off-Centric Distance با حرف E کدگذاری شده است و نشان دهنده میزان عدم هم‌مرکزی مرکز نمایشگر تا مرکز سرنشین (راستای نقطه مبنای نشیمن) است (شکل ۲).
- با استفاده از نرم‌افزار آماری MINITAB 18، طراحی آزمایش با

کلاس‌های مختلف خودرویی، دو سطح فرضی به گونه‌ای نسبت به راننده قرار داده شده است که بیانگر حداقل Belt-Line (خط حائل بین شیشه و در خودرو) شیشه‌های جانبی (در راستای قائم) باشد و در واقع بیانگر حداقل و حداقل ارتفاع شیشه‌های جانبی دو سمت راننده است. فواصل نشان داده شده در شکل (۳) حاصل میانگین مقدار فواصل و پارامترهای نشان داده شده برای حدود ۷۰۰ خودرو موجود در سایت بیان شده است که به منظور جامعیت دادن به پژوهش و پوشش دادن تمامی کلاس‌های خودرویی استخراج شده است.

به منظور تحلیل انکاس نمایشگر روی شیشه‌های جانبی، دو سطح فرضی در طرفین سرنشین ایجاد شده که در حقیقت نشان‌دهنده شیشه‌های جانبی خودرو هستند. فواصل نشان داده شده در شکل (۳) با الگوگیری از سایت A2mac1 ایجاد شده است [۱۴]. سایت بیان شده از بزرگترین و معتبرترین سایت‌های الگوگرداری خودرویی است که بالغ بر ۱۱۰۰ خودرو را مهندسی معکوس کرده است و داده‌های آن را به صورت طبقه‌بندی شده ارائه می‌دهد؛ بنابراین، با توجه به تنوع خودروهای مهندسی معکوس شده در این سایت از

جدول ۲. جزئیات روش آزمایش طراحی عاملی کامل با توجه به ورودی‌ها به تعداد ۲۴۳ آزمایش با ترکیب ۵ عامل و در ۳ سطح مقداری

عوامل	تعداد تکرار	کل آزمایش اجرا شده	تعداد آزمایش
۱	۲۴۳	کل آزمایش اجرا شده	۲۴۳
بلوک مبنا	۱	کل بلوک ها	۱



شکل ۳. فواصل و ابعاد و اندازه سطوح کمکی جهت آنالیز انکاس (بالا - چپ)، شماتیک نمایشگر مرکزی و سطوح جانبی جهت تحلیل انکاس (بالا - چپ)، شماتیک نحوه آنالیز انکاس روی شیشه سمت راننده (پایین چپ / راست).

عنوان پاسخ، ارزیابی شده است (شکل ۳). با استفاده از روش CAD Trace، برای تمامی ۲۴۳ حالت آزمایش، مساحت تصویر مجازی منعکس شده (به سانتی‌متر مربع) روی شیشه‌های جانبی از منظر نقطه مبنای چشم، ارزیابی شده است. برای هر حالت از آزمایش مقدار سطح منعکس شده روی سطوح جانبی اندازه‌گیری شده است. خروجی‌های مورد تحلیل به ترتیب انکاس ایجاد شده روی نواحی موثر دید شیشه‌های جانبی (چپ / راست) و

جهت تحلیل انکاس تصاویر مجازی تشکیل شده روی شیشه‌ها، از روش CAD Trace (ترسیم خطوط دید از چشم راننده به نمایشگر و بازتاب آن) استفاده شده است [۱۴]. بر اساس این روش، حالتی از تابش نور از سمت نمایشگر در هر تحلیل در نظر گرفته شده است که زاویه تابش با بازتاب آن به چشم راننده با هم برابر باشد. در واقع در چنین حالتی می‌توان گفت تصویر مجازی نمایشگر روی سطح شیشه شکل گرفته است. مساحت تصویر مجازی نمایشگر روی سطح شیشه به

با توجه به نواحی بیان شده، بخشی از تحلیل‌های انعکاس روی شیشه‌های سمت چپ و راست که در نواحی حساس دید بیان شده قرار داشتند، ارزیابی شدند. نتایج نشان داده است در تمامی ۲۴۳ حالت، انعکاس ایجادشده در محدوده ۷۵ درجه دید، قرار دارد؛ اما درباره محدوده دید موثر سمت چپ راننده با قید زاویه ۵۵ درجه، بخشی از انعکاس‌ها خارج از محدوده موثر دید تشکیل می‌شوند (شکل ۴).^۴

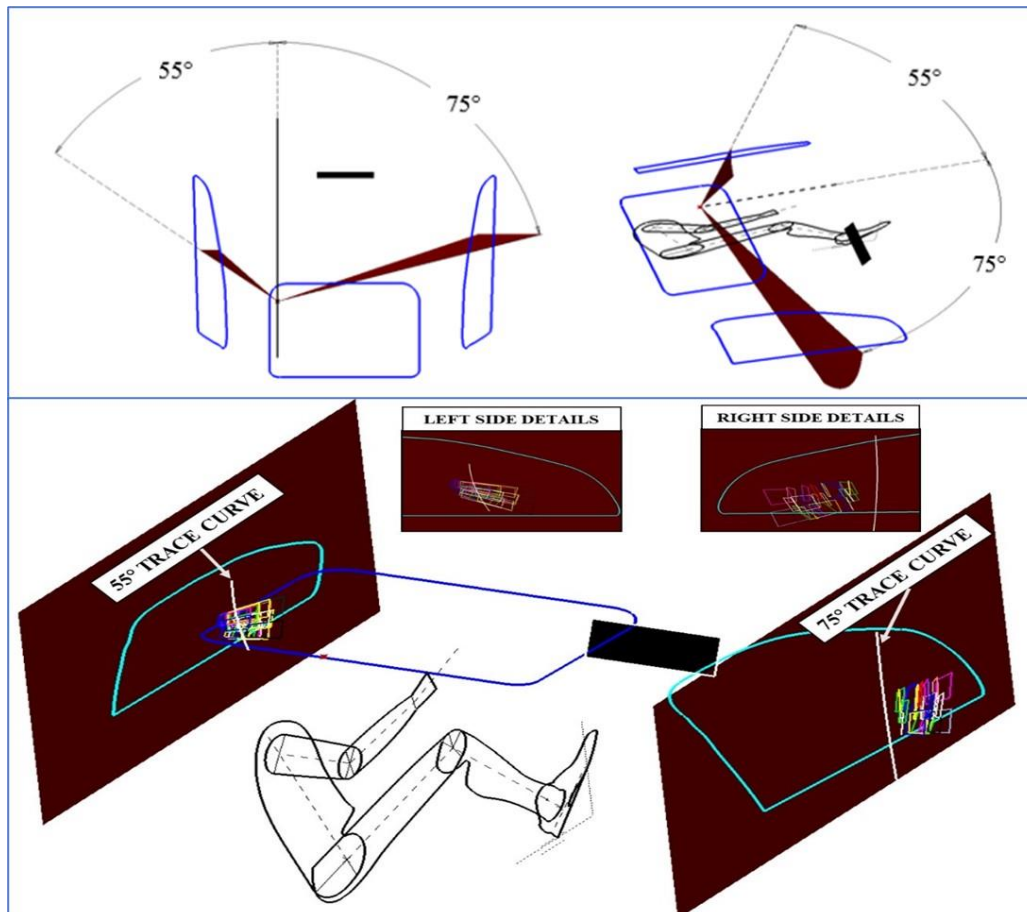
با توجه به اینکه در سمت چپ محدوده موثر دید، بخشی از انعکاس‌ها خارج از محدوده موثر دید هستند، به منظور بررسی تاثیر عوامل مختلف و احیاناً برهم‌کنش آن‌ها روی میزان انعکاس در محدوده موثر دید، تحلیل واریانس (یک‌طرفه، دوطرفه، سه‌طرفه، چهار‌طرفه و پنج‌طرفه) با سطح اطمینان %۹۵ در نظر گرفته شده است. تحلیل واریانسی صورت‌گرفته و همچنین استانداردسازی نمودارهای Normal plot of the standardized effects و Pareto نشان داده است به ترتیب عوامل (شامل برهم‌کنش‌های ممکن)، E، C، A، ABC، AC، CE، AB، BE و ABCD تاثیر معناداری روی خروجی دارند؛ چراکه دارای < 0.05 P-Value و Value بالایی هستند. سایر عوامل و برهم‌کنش‌های آن‌ها تاثیر معناداری روی خروجی ندارند (شکل ۵).

مجموع انعکاس ایجادشده در هر دو سمت است. هر ۲ خروجی با استفاده از تحلیل واریانسی ارزیابی شده است تا تأثیر عوامل مختلف (مرتبط با جانمایی نمایشگر) به لحاظ آماری بررسی شود.

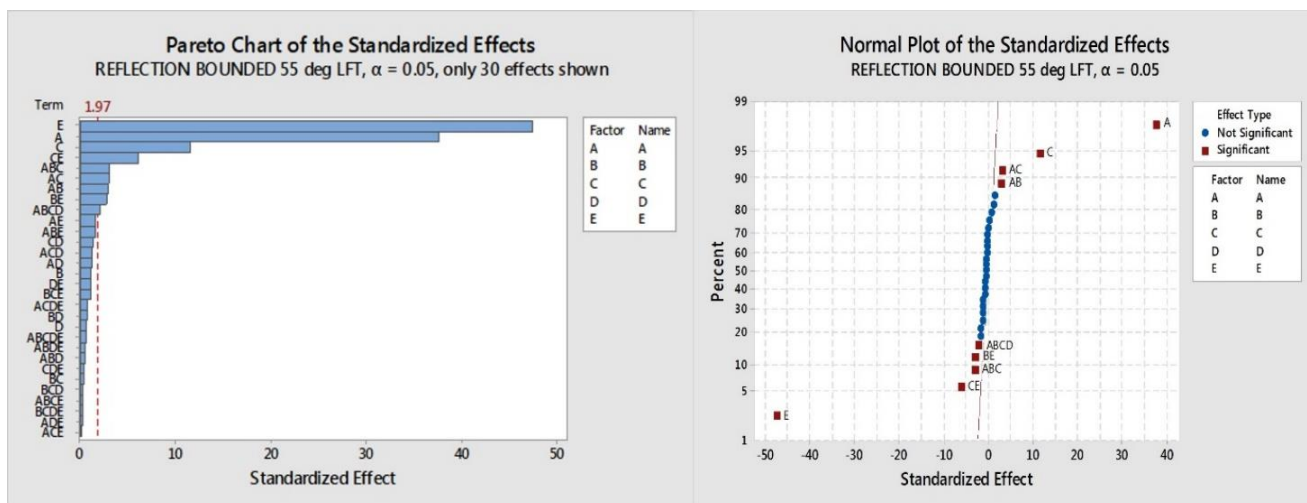
یافته‌ها

تحلیل انعکاس روی ناحیه موثر دید شیشه‌های جانبی (چپ / راست) راننده:

در تحلیل میزان انعکاس روی شیشه‌های جانبی به واسطه نمایشگر مرکزی، باید توجه داشت اصلی‌ترین وظیفه راننده دیدن آینه‌های جانبی از خلال شیشه‌های جانبی است، از این‌رو، امکان تشکیل انعکاس در محدوده موثر دید راننده بررسی شده است. مطابق با استاندارد اتحادیه اروپا و همچنین سازمان استاندارد ایران برای آینه‌های جانبی (ECE R46)، آینه سمت راننده می‌باشد حداقل زاویه ۵۵ درجه نسبت به راستای طولی خودرو داشته باشد.^{۱۵} همچنین مطابق با بررسی چند نمونه از خودروهای موجود در سایت A2mac1 و محدوده سهولت دید راننده، زاویه ۷۵ درجه برای محدوده موثر دید راننده جهت رویت آینه سمت راست، در نظر گرفته شده است (شکل ۴).



شکل ۴. نمایش محدوده موثر دید راننده جهت رویت آینه‌های جانبی مطابق استاندارد (بالا) و انعکاس‌های تشکیل شده روی نواحی بیان شده (پایین)



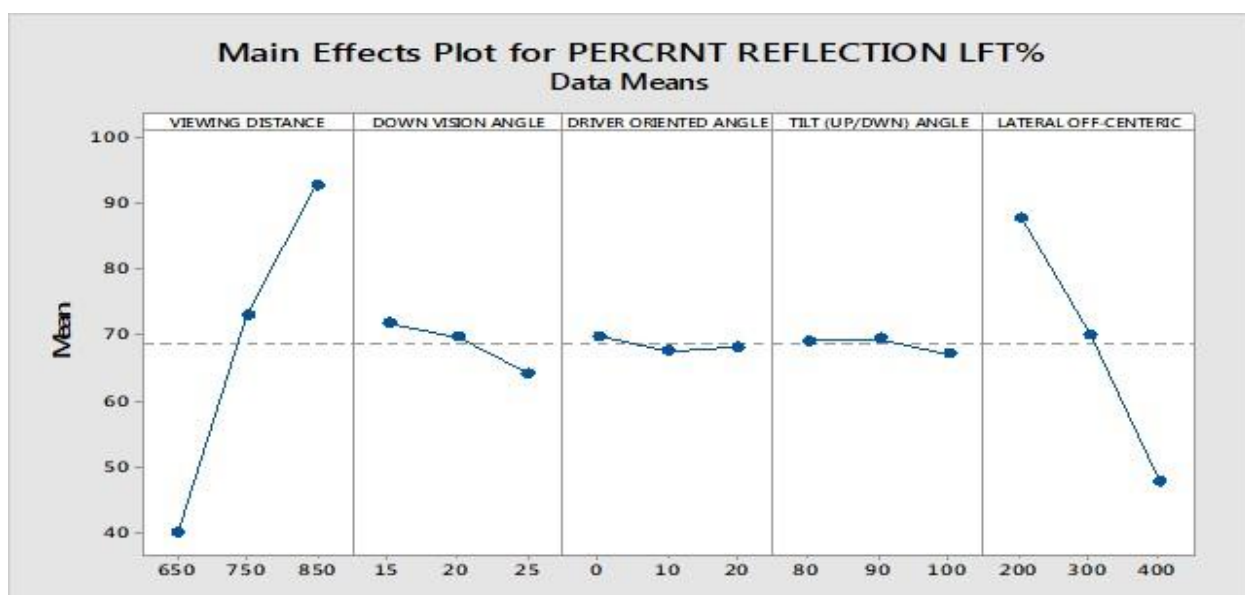
شکل ۵. نمودار نرمال (راست) و پارتو (چپ) جهت بررسی اولویت تاثیرگذاری عوامل و برهمکنش آنها روی خروجی

انعکاس، به صورت یکطرفه، دوطرفه، سهطرفه، چهارطرفه و پنجطرفه انجام شده است تا تاثیر تمامی عوامل به صورت انفرادی و تمامی حالات برهمکنش آنها، لحاظ شود. گفتنی است سطح اطمینان ۹۵٪ P Value = ۰/۰۵ در نظر گرفته شده است. میزان $< 0/05$ نشان‌دهنده انطباق مناسب مدل با داده‌های ارائه شده است. همچنین مقادیر $> 0/05$ برای تحلیل واریانسی چهار و پنجطرفه، نشان‌دهنده عدم تاثیرگذاری آماری این حالت از برهمکنش‌های بین عوامل است. نمودار Normal plot و Pareto به منظور تعیین عوامل شامل برهمکنش عوامل) به لحاظ آماری معنادار، استفاده شده است. همان‌طور که مشهود است از بین تمامی ۳۰ حالت ممکن (شامل هر عامل به صورت انفرادی و حالت‌های برهمکنش ممکن بین آنها)، به ترتیب عوامل C، A، E، B، CE، AD، A، D، B، C، E تاثیرگذاری معناداری روی خروجی یعنی مجموع انعکاس روی هر دو شیشه دارند (شکل ۶).

با بررسی تاثیر عوامل به صورت انفرادی روی خروجی با استفاده از نمودار Main effect plot مشاهده شده است که تغییرات عوامل E و A تاثیر بسزایی روی خروجی دارند. به این صورت که افزایش عامل C باعث کاهش چشمگیر میزان انعکاس (تصویر مجازی) می‌شود. از طرفی افزایش عامل A باعث افزایش شدید میزان انعکاس می‌شود (شکل ۶).

تحلیل مجموع انعکاس روی شیشه‌های جانبی (چپ / راست) راننده:

به منظور بررسی تاثیر همزمان جانمایی نمایشگر (با توجه به ۵ فاکتور بیان شده)، روی میزان مجموع انعکاس تشکیل شده روی شیشه سمت راست و چپ، تحلیل واریانسی صورت گرفته است. مطابق با جدول (۳)، تحلیل واریانس برای خروجی مجموع

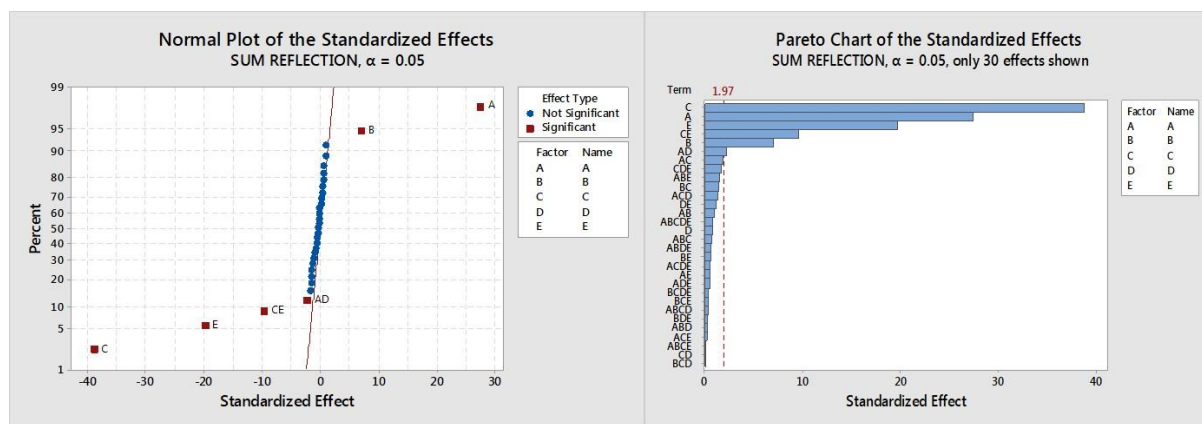


شکل ۶. نمودار Main effect عوامل، به صورت انفرادی روی خروجی انعکاس تشکیل شده روی شیشه سمت چپ

جدول ۳. تحلیل واریانس عوامل به صورت انفرادی و حالت‌های برهم‌کنش ممکن (۳۱ حالت)، شامل مقادیر P-Value برای هر کدام از عوامل، روی خروجی

مجموع انعکاس روی شیشه‌های جانبی

Source	DF	Adj SS	Adj MS	F-Value	P-Value	Source	DF	Adj SS	Adj MS	F-Value	P-Value
Model	۳۱	۵۶۸۱۳/۳	۱۸۳۲۷/۷	۹۰/۹۲	.	٢-Way Interactions	۱۰	۲۱۶۲/۴	۲۱۶/۲	۱۰/۷۳	.
Linear	۵	۵۴۴۴۳/۵	۱۰۸۸۸/۷	۵۴/۰/۱۶	.	AB	۱	۱۹/۲	۱۹/۲	۰/۹۵	۰/۳۳
A	۱	۱۵۱۵۳	۱۵۱۵۳	۷۵۱/۷	.	AC	۱	۶۷/۳	۶۷/۳	۳/۳۴	۰/۰۶۹
B	۱	۹۸۷/۵	۹۸۷/۵	۴۸/۹۹	.	AD	۱	۱۰/۸	۱۰/۸	۰/۵۳	۰/۰۲۲
C	۱	۳۰۴۲۹/۲	۳۰۴۲۹/۲	۱۵۰/۹/۵۲	.	AE	۱	۵/۹	۵/۹	۰/۲۹	۰/۰۵۹
D	۱	۱۳/۷	۱۳/۷	۰/۶۸	۰/۴۱	BC	۱	۴۴/۳	۴۴/۳	۲/۲	۰/۱۴
E	۱	۷۸۶/۰/۱	۷۸۶/۰/۱	۳۸۹/۹۲	.	BD	۱	۰/۱	۰/۱	۰/۰۱	۰/۹۳۶
Source	DF	Adj SS	Adj MS	F-Value	P-Value	BE	۱	۹/۸	۹/۸	۰/۴۹	۰/۴۸۶
٢-Way Interactions	۱۰	۱۶۷/۷	۱۶/۸	۰/۸۳	۰/۰۹۸	CD	۱	۰/۷	۰/۷	۰/۰۴	۰/۱۸۱
ABC	۱	۱۲/۹	۱۲/۹	۰/۶۴	۰/۰۴۵	CE	۱	۱۸۷۹/۵	۱۸۷۹/۵	۹۳/۲۴	.
ABD	۱	۱/۴	۱/۴	۰/۰۷	۰/۰۷۸۹	DE	۱	۲۸/۷	۲۸/۷	۱/۴۲	۰/۲۲۴
ABE	۱	۴۷/۴	۴۷/۴	۲/۳۵	۰/۱۲۷	Source	DF	Adj SS	Adj MS	F-Value	P-Value
ACD	۱	۳۹/۵	۳۹/۵	۱/۹۶	۰/۱۶۳	٣-Way Interactions	۵	۲۳/۷	۴/۷	۰/۲۴	۰/۰۴۷
ACE	۱	۱/۳	۱/۳	۰/۰۷	۰/۰۷۹۸	ABCD	۱	۲/۷	۲/۷	۰/۱۳	۰/۰۱۶
ADE	۱	۵/۴	۵/۴	۰/۰۲۷	۰/۰۶۰۵	ABCE	۱	۰/۷	۰/۷	۰/۰۴	۰/۰۸۱
BCD	۱	۰/۶	۰/۶	۰/۰۳	۰/۰۸۵۸	ABDE	۱	۹/۸	۹/۸	۰/۴۹	۰/۰۴۸۵
BCE	۱	۲/۸	۲/۸	۰/۱۴	۰/۰۱	ACDE	۱	۷/۳	۷/۳	۰/۳۶	۰/۰۴۹
BDE	۱	۱/۷	۱/۷	۰/۰۸	۰/۰۷۱	BCDE	۱	۳/۲	۳/۲	۰/۱۶	۰/۰۶۹
CDE	۱	۵۴/۵	۵۴/۵	۲/۷	۰/۰۱۰	Source	DF	Adj SS	Adj MS	F-Value	P-Value
						٤-Way Interactions	۱	۱۶/۱	۱۶/۱	۰/۸	۰/۳۷۲
						ABCDE	۱	۱۶/۱	۱۶/۱	۰/۸	۰/۳۷۲
						ERROR	۲۱۱	۴۲۵۳/۴	۲۰/۲		
						TOTAL	۲۴۲	۶۱۰۶۶/۷			



شکل ۷. نمودار نرمال (چپ) و پارتو (راست) جهت بررسی اولویت تاثیرگذاری عوامل و برهم‌کنش آن‌ها روی خروجی مجموع انعکاس‌ها

انعکاس روی هر دو شیشه را به دنبال خواهد داشت. همچنین برای مقادیر ثابت و البته بیشتر عامل E، افزایش عامل C کاهش بیشتر در مجموع خروجی روی شیشه‌ها را به دنبال خواهد داشت. از نمودار برهم‌کنش می‌توان نتیجه گرفت در صورت ثابت نگه داشتن عامل C، با افزایش عامل E، خروجی مدنظر (مجموع انعکاس تشکیل شده روی شیشه‌های جانبی) کاهش می‌یابد (شکل ۸ - پایین چپ / راست).

از آنجایی که Main effect plot، تاثیر انفرادی عوامل را روی خروجی بررسی می‌کند، نمی‌تواند به صورت کامل و دقیق تاثیر هر عامل در تعییرات خروجی مدنظر را نشان دهد؛ چراکه برهم‌کنش‌ها

نمودار تاثیر انفرادی عوامل روی خروجی (Main effect plot) و همچنین برهم‌کنش عوامل (Interaction plot) در شکل (۸) نشان داده شده است. افزایش عامل C، تاثیر کاهشی زیادی، روی خروجی Driver Oriented دارد؛ از این رو، می‌توان نتیجه گرفت ایجاد نمایشگر تاثیر مطلوبی روی کاهش میزان انعکاس شیشه‌های چپ و راست دارد؛ بنابراین، Driver Oriented کردن نمایشگر راه حل مناسبی است (شکل ۸ - بالا).

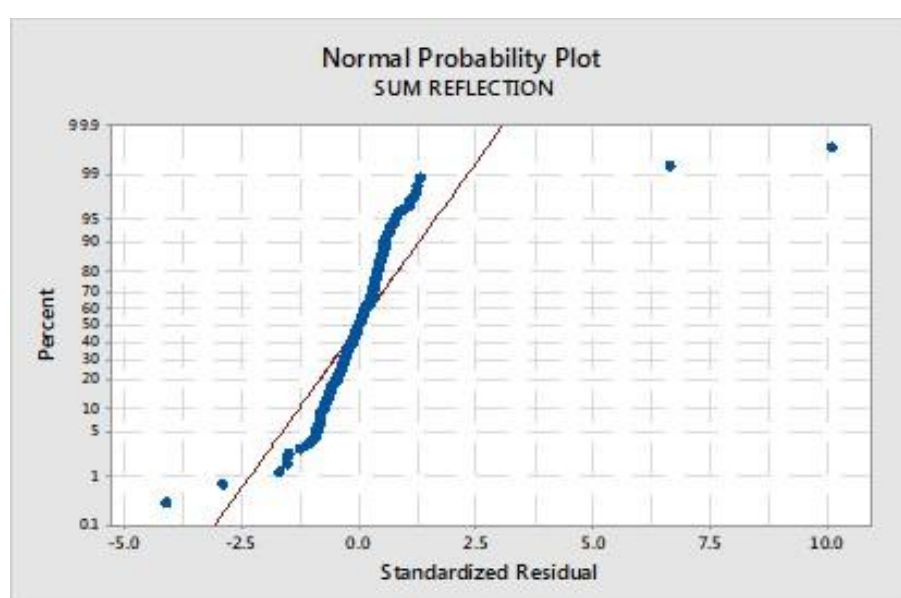
از Interaction Plot عوامل، مشاهده می‌شود، درباره برهم‌کنش CE با ثابت نگه داشتن عامل E و با افزایش عامل C، کاهش مجموع

در معادله دارد و علامت منفی آن نشان‌دهنده تاثیر کاهشی زیاد (مطلوب طراحی) انعکاس تشکیل شده است. نمودار نشان‌داده شده در شکل (۹) به منظور تایید اعتبار معادله رگرسیون خطی استخراج شده است. همان‌طور که مشخص است هرچند برخی باقی‌مانده‌ها از خط مستقیم (به عنوان شاخصی برای توزیع نرمال) انحراف دارند، ولی در مجموع پراکندگی توزیع باقی‌مانده‌ها، به خط مستقیم نشان داده شده در تصویر، همگرا است و این به معنای توزیع نرمال باقی‌مانده‌ها است [۱۶] که به همراه شاخص $R\text{-}sq}(\text{adj})=93\%$ که از تحلیل واریانس حاصل شده است، قدرت بالای معادله رگرسیون را در پیش‌بینی خروجی نشان می‌دهد.

در ترسیم این نمودار لحاظ نمی‌شود؛ از این رو، به منظور بررسی جامع‌تر و البته دقیق‌تر هر کدام از عوامل و برهمنکش‌ها، نیاز به برآورد آماری با استفاده از معادله رگرسیون خطی معتبر است؛ از این رو، با هدف برآورد اثر تخمینی هر عامل و همچنین برهمنکش‌های آن‌ها روی خروجی، معادله رگرسیون خطی بر اساس تحلیل واریانس و با سطح اطمینان ۹۵٪، $P < 0.05$ این معادله است (معادله ۱). بر اساس این معادله عوامل و برهمنکش‌هایی که علامت مثبت دارند، تاثیر افزایشی (افزایش مجموع انعکاس تشکیل شده) و آن‌هایی که علامت منفی دارند تاثیر کاهشی (کاهش مجموع انعکاس تشکیل شده) را به دنبال خواهند داشت. عامل C بالاترین ضریب را



شکل ۸. نمودار Main effect عوامل، به صورت انفرادی روی خروجی مجموع انعکاس (بالا)، نمودار برهمنکش عوامل روی خروجی مجموع انعکاس (پایین چپ / راست)



شکل ۹. نمودار توزیع نرمال باقی‌مانده‌ها

معادله ۱:

$$\begin{aligned} & \text{مجموع انعکس روی شیشه های جانبی} \\ & = 272 - 0.27 \times A - 12.2 \times B - 62.9 \times C - 2.11 \times D - 0.99 \times E + 0.018 \times A \times B + 0.0844 \times A \times C + 0.0028 \times A \\ & \times E + 0.00131 \times A \times E + 2.42 \times B \times C + 0.098 \times B \times D + 0.042 \times B \times E + 0.711 \times C \times D + 0.207 \times C \times E \\ & + 0.0085 \times D \times E - 0.00342 \times A \times B \times C - 0.000135 \times A \times B \times D - 0.00006 \times A \times B \times E - 0.00095 \times A \times C \\ & \times D - 0.000284 \times A \times C \times E - 0.000011 \times A \times D \times E - 0.027 \times B \times C \times D - 0.0089 \times B \times C \times E - 0.00036 \times B \\ & \times D \times E - 0.0024 \times C \times D \times E + 0.000038 \times A \times B \times C \times D + 0.000013 \times A \times B \times C \times E + 0.000001 \times A \times B \\ & \times D \times E + 0.000003 \times A \times C \times D \times E + 0.000101 \times B \times C \times D \times E \end{aligned}$$

بحث

تحلیل نتایج پژوهش حاضر بیانگر این است که از منظر چشم راننده امکان تشكیل تصویر مجازی نمایشگر مرکزی (انکاس) بر روی شیشه‌های سمت راست و چپ هنگام رانندگی در شب کاملاً محتمل است و می‌بایست در فرایند طراحی داخلی خودرو توجه ویژه به جانمایی ارگونومی نمایشگرها شود. همچنین به این دلیل که ناحیه حساس دید شیشه سمت راننده (شیشه سمت چپ) محدوده زاویه‌ای کمتری دارد، هنگام جانمایی نمایشگر مرکزی در فرایند طراحی می‌باشد کنترل بیشتری صورت بگیرد؛ چراکه محدوده مورد نیاز جهت مشاهده آینه جانبی کوچک‌تر است؛ بنابراین، اگر انکاس در این محدوده تشكیل شود نگرانی مشکلات ارگونومی راننده را جهت رویت ناحیه عقب خودرو تشديد می‌کند. تحلیل صورت گرفته به منظور کاهش مجموع انکاس ایجادشده روی هر دو شیشه سمت راست و چپ، پیشنهاد می‌کند موارد زیر در جانمایی نمایشگر مرکزی رعایت شود:

عامل Viewing distance: در مقایسه با تمامی عوامل و برهمنکش‌های آن‌ها، تغییرات این عامل، تاثیر کمی در مجموع انکاس ایجادشده روی شیشه‌های جانبی دارد.

عامل Down vision angle: در مقایسه با تمامی عوامل و برهمنکش‌ها، تغییرات این عامل، تاثیر نسبتاً زیادی در میزان انکاس ایجادشده روی شیشه‌های جانبی دارد؛ از این رو، کنترل آن حین فرایند طراحی می‌تواند نقش بسزایی در کاهش میزان انکاس تشكیل شده، ایفا کند.

عامل Driver oriented angle: در مقایسه با تمامی عوامل و برهمنکش‌ها، تغییرات این عامل، بالاترین تاثیر را در میزان انکاس تشكیل شده روی شیشه‌های جانبی دارد؛ بنابراین، حین فرایند طراحی و جانمایی نمایشگر داخل خودرو می‌بایست توجه بالایی به این عامل شود؛ چراکه ایجاد تمایل نمایشگر به سمت راننده می‌تواند تا حد زیادی مجموع انکاس تشكیل شده را کاهش دهد.

عامل Tilt up/down: در مقایسه با تمامی عوامل و برهمنکش‌های آن‌ها، تغییرات این عامل، تاثیر کمی در مجموع انکاس ایجادشده روی شیشه‌های جانبی دارد.

عامل Lateral off-centric: در مقایسه با تمامی عوامل و برهمنکش‌های آن‌ها، تغییرات این عامل، تاثیر کمی در مجموع انکاس ایجادشده روی شیشه‌های جانبی دارد.

در پژوهش حاضر باید در نظر داشت تشكیل انکاس آزاردهنده روی شیشه‌های جانبی، فقط هنگام رانندگی در شب به ویژه زمانی که نور محیطی پایین باشد، مطرح است و به طور منطقی انتظار می‌رود با افزایش نور محیط بیرون (رانندگی در معابری که نور محیط

نتیجه‌گیری

به طور کلی یافته‌های این پژوهش نشان داده است که با کنترل عوامل موثر در جانمایی نمایشگر مرکزی می‌توان نگرانی میزان انکاس (تصویر مجازی) نمایشگر را روی شیشه‌های جانبی کاهش داد و یا اینکه به نحوی کنترل کرد که از نواحی حساس دید (جهت مشاهده آینه‌های جانبی) دورتر شود.

اهمیت کاربردی این یافته‌ها در طراحی ارگونومی موقعیت نمایشگر مرکزی داخل خودرو و بهبود وضعیت دید راننده هنگام رانندگی در شب، به ویژه در معابری با نور محیطی پایین است؛ چراکه در صورت کنترل نکردن نکردن موقعیت جانمایی نمایشگر، نگرانی ایجاد تصویر مجازی روی شیشه‌های جانبی وجود دارد و باعث مزاحمت دید برای راننده در دید جانبی می‌شود.

به نظر می‌رسد انجام یک پژوهش تکمیلی با رویکرد تجربی و آزمایشگاهی می‌تواند جهت صحه گذاری نتایج تحلیلی اخذشده در این پژوهش، استفاده شود. همچنین برخی عوامل موثر دیگر را که در این پژوهش امکان دخیل کردن آن‌ها وجود نداشت، مانند تاثیر میزان نور محیط بیرون، بر کیفیت تصویر مجازی منعکس شده روی شیشه‌های جانبی لحاظ کرد.

تشکر و قدردانی

نویسنده‌گان این پژوهش از رئیس محترم اداره طراحی صنعتی، آقای مهندس آزاد، به دلیل حمایت همه‌جانبه ایشان برای انجام این پژوهش سپاس‌گزاری می‌کنند.

تضاد مناف

هیچ تعارض منافعی وجود ندارد.

مشارکت‌های نویسنده‌گان

مشارکت نویسنده‌گان پژوهش حاضر به شرح ذیل است:
مفهوم‌سازی: میلاد کریمی، بهنوش بهاری، مهدی گنجی
مدیریت داده‌ها: میلاد کریمی، بهنوش بهاری، مهدی گنجی

نوشتن - پیش‌نویس اصلی: میلاد کریمی
نگارش - بررسی و ویرایش: میلاد کریمی

ملاحظات اخلاقی

پژوهش حاضر کد اخلاق ندارد و بهره‌برداری از آن با ذکر منبع
بلامانع است.

حمایت مالی
در این مطالعه موضوعیت ندارد.

تحلیل: میلاد کریمی، بهنوش بهاری، مهدی گنجی
جذب سرمایه: غیر کاربردی
تحقیق: میلاد کریمی، بهنوش بهاری، مهدی گنجی
روش‌شناسی: میلاد کریمی، بهنوش بهاری، مهدی گنجی
مدیریت پروژه: غیر کاربردی
منابع: غیر کاربردی
نرم‌افزار: میلاد کریمی، بهنوش بهاری، مهدی گنجی
نظارت: میلاد کریمی، بهنوش بهاری، مهدی گنجی
اعتبارسنجی: غیر کاربردی
تجسم: میلاد کریمی، بهنوش بهاری، مهدی گنجی

REFERENCES

- Wood JM. Nighttime driving: visual, lighting and visibility challenges. *Ophthalmic Physiol Opt*. 2020;40(2):187–201. [DOI: [10.1111/opo.12659](https://doi.org/10.1111/opo.12659)] [PMID: [32244110](#)]
- Stanke L, Viktorová L, Dominik T. Discomfort glare perception by drivers—establishing a link between subjective and psychophysiological assessment. *Appl Sci*. 2022;12(8), 3847. [DOI: [10.3390/app12083847](https://doi.org/10.3390/app12083847)]
- Remlinger W. Analyse von sichteinschränkungen im fahrzeug. Dissertation an der Technischen Universität, München. 2013. [[Link](#)]
- Ebnali Heidari M, Azam K, Nazeri A, Heidari M, Shateri A. The effects of divided attention and cognitive distraction on driver's performance among people aged over 65. *Iran J Ergo*. 2017;4(4):33-40. [DOI: [10.21859/joe-04045](https://doi.org/10.21859/joe-04045)]
- Abbaszadeh M, Zakerian S A, Nahvi A, Nasl Seraji J. The survey of relationship between bus drivers' situation awareness, driving performance and cognitive abilities using driving simulator. *Iran J Ergon*. 2014; 2 (3) :1-13. [[Link](#)]
- Bubb H, Bengler K, Grunen RE, Vollrath M. Automotive ergonomics. 1st edition. Springer Wiesbaden , 2021. [DOI: [10.1007/978-3-658-33941-8](https://doi.org/10.1007/978-3-658-33941-8)]
- A European statement of principles on human machine interface. European commission on safe and efficient in vehicle information and communication systems. Brusseles, Belgium, 2006. [[Link](#)]
- Weinschenk S. 100 things every designer needs to know about people, 1st edition. Berkeley, CA: new riders. 2011. [[Link](#)]
- Ganji M, Karimi M, Bahari B. Investigating the effect of package parameters on driver comfort using the DOE method and the DHM ergonomics analysis tool. *Iran J Ergon*. 2019; 6 (4) :9-19. [DOI: [10.30699/jergon.6.4.9](https://doi.org/10.30699/jergon.6.4.9)]
- Society of automotive engineers (SAE). SAE J941: Recommended practice for measuring the driver's field of view. Warrendale, PA: SAE international. 2012. [[Link](#)]
- Bhise VD. Ergonomics in the automotive design process. 1st edition. Boca Raton, FL: CRC Press. 2011. [DOI: [10.1201/b11237](https://doi.org/10.1201/b11237)]
- Uniform provisions concerning the approval of safety glazing materials and their installation on vehicles. United nations economic commission for Europe. Addendum 42, Regulation No.43 Revision: Geneva, Switzerland, 2012. [[Link](#)]
- Young RA, Dixon JR, Meyer W. Alliance principle1.4: visual downangle criteria for navigation and telematics displays in vehicles. SAE technical paper. 2005. [DOI: [10.4271/2005-01-0425](https://doi.org/10.4271/2005-01-0425)]
- Decode the future. A2mac1 website. [[Link](#)]
- Uniform provisions concerning the approval of devices for indirect vision and of motor vehicles with regard to the installation of these devices. United nations economic commission for Europe. Regulation No. 46 revision6: Geneva, Switzerland, 2012. [[Link](#)]
- Nisbet R, Miner G, Yale K. Handbook of statistical analysis and data mining applications 2nd edition 2018. Elsevier Inc. 2018. [DOI: [10.1016/C2012-0-06451-4](https://doi.org/10.1016/C2012-0-06451-4)].

شماره آزمایش	عامل های طراحی آزمایش						پاسخ ها	
	A	B	C	D	E	SUM		
	VIEWING DISTANCE	DOWN VISION ANGLE	DRIVER ORIENTE D ANGLE	TIKT (UP/DWN) ANGLE	LATERAL OFF- CENTERIC	REFLECTION ON BOTH WINDOWS- [cm ²]	REFLECTION ON CRITICAL VISION ZONE (55 deg Left)-[cm ²]	
۱	۷۵.	۲۵	۲۰	۱۰۰	۴۰۰	۴۵/۱۴۸	۱۳/۷۸	
۲	۸۵.	۲۵	.	۸۰	۲۰۰	۹۸/۹۴۹	۵۲/۹۷۲	
۳	۶۵.	۲۰	۲۰	۸۰	۴۰۰	۳۳/۷۵۸	۲/۰۸	
۴	۷۵.	۱۵	۱۰	۹۰	۲۰۰	۷۳/۶۵۹	۵۱/۵۲۲	
۵	۸۵.	۲۵	.	۱۰۰	۲۰۰	۹۸/۸۹۴	۵۲/۹۴۳	
۶	۸۵.	۲۰	.	۱۰۰	۲۰۰	۹۳/۵۱۶	۵۰/۰۶۳	
۷	۷۵.	۲۰	۲۰	۸۰	۴۰۰	۴۳/۵۳۳	۱۶/۰۵۴	
۸	۶۵.	۲۰	۲۰	۹۰	۳۰۰	۴۰/۸۹	۱۵/۴۸	
۹	۸۵.	۱۵	۱۰	۱۰۰	۲۰۰	۸۳/۰۲۵	۵۷/۵۸۳	
۱۰	۷۵.	۲۵	۲۰	۱۰۰	۳۰۰	۵۲/۹۵۹	۳۰/۱۶۶	
۱۱	۷۵.	۲۰	۱۰	۹۰	۲۰۰	۷۵/۸۶۶	۵۱/۰۰۶	
۱۲	۷۵.	۲۵	.	۸۰	۴۰۰	۸۰/۶۳۳	۸/۶۴	
۱۳	۶۵.	۱۵	.	۹۰	۳۰۰	۶۶/۸۷۲	۹/۸۸۱	
۱۴	۶۵.	۲۵	۱۰	۱۰۰	۳۰۰	۵۷/۴۰۲	۹/۹۱۲	
۱۵	۶۵.	۱۵	۱۰	۸۰	۴۰۰	۵۰/۰۶۲	۰/۹۹۶	
۱۶	۶۵.	۲۰	۱۰	۹۰	۴۰۰	۵۲/۱۵۱	۰/۷۸	
۱۷	۸۵.	۲۵	.	۱۰۰	۴۰۰	۹۱/۴۲۸	۲۲/۳۶۳	
۱۸	۷۵.	۱۵	.	۹۰	۴۰۰	۷۷/۰۷۱	۲۲/۳۶۳	
۱۹	۶۵.	۲۰	۱۰	۱۰۰	۳۰۰	۱۰۳/۳۲۵	۱۲/۱۴۴	
۲۰	۶۵.	۱۵	۲۰	۸۰	۳۰۰	۳۹/۴۴۲	۱۶/۰۵۲	
۲۱	۶۵.	۲۵	.	۹۰	۳۰۰	۷۱/۲۶۹	۸/۰۷۴	
۲۲	۶۵.	۲۰	۱۰	۸۰	۳۰۰	۵۴/۹۴	۱۲/۲۳۲	
۲۳	۶۵.	۱۵	۱۰	۹۰	۴۰۰	۴۱/۰۵۸	۱۵/۶۴۱	
۲۴	۷۵.	۱۵	۱۰	۱۰۰	۲۰۰	۷۲/۲۷۲	۵۰/۶۳	
۲۵	۶۵.	۲۰	۲۰	۸۰	۲۰۰	۵۴/۱۴	۳۴/۸۸۶	
۲۶	۸۵.	۱۵	۲۰	۹۰	۴۰۰	۵۱/۷۷۹	۳۰/۳۴۲	
۲۷	۸۵.	۲۵	۲۰	۱۰۰	۳۰۰	۶۳/۰۷۲	۴۵/۸۲۳	
۲۸	۶۵.	۲۵	۲۰	۹۰	۳۰۰	۴۲/۲۶۵	۱۲/۳۵	
۲۹	۷۵.	۱۵	.	۸۰	۳۰۰	۷۵/۸۳۱	۲۵/۷۵۷	
۳۰	۷۵.	۲۰	۲۰	۸۰	۳۰۰	۵۰/۲۶۱	۳۱/۷۷۸	
۳۱	۶۵.	۲۵	۲۰	۱۰۰	۲۰۰	۵۴/۹۱۲	۳۲/۹۸۷	
۳۲	۷۵.	۲۰	.	۸۰	۲۰۰	۸۴/۱۴۵	۴۴/۷۴۵	
۳۳	۷۵.	۲۵	۱۰	۹۰	۲۰۰	۷۸/۹۶۸	۵۰/۰۸۶	
۳۴	۷۵.	۲۰	.	۹۰	۳۰۰	۷۹/۳۰۸	۲۵/۴۱۴	
۳۵	۷۵.	۲۵	.	۱۰۰	۳۰۰	۸۰/۸۱۱	۲۳/۵۲۴	
۳۶	۸۵.	۱۵	.	۸۰	۴۰۰	۸۵/۷۶۲	۲۴/۱۸۷	
۳۷	۸۵.	۲۵	۱۰	۹۰	۳۰۰	۷۹/۸۰۲	۴۳/۸۴۵	

۳۸	۷۵.	۲.	.	۱..	۴..	۷۷/۶۹۹	۱۱/۳۳۳
۳۹	۷۵.	۱۵	.	۹..	۲..	۸۳/۴۶۹	۴۴/۸۱۲
۴۰	۸۵.	۲۵	.	۸..	۳..	۹۱/۷۱۵	۳۷/۹۲۲
۴۱	۸۵.	۲..	۱..	۱..	۴..	۷۱/۵۳	۲۷/۴۰۴
۴۲	۸۵.	۲۵	۱..	۸..	۳..	۷۸/۴۵۶	۴۳/۴۴۱
۴۳	۶۵.	۱۵	.	۸..	۲..	۷۱/۱۴۸	۲۸/۵۹۶
۴۴	۸۵.	۲..	.	۹..	۴..	۸۹/۷۷۴	۲۴/۶۸۱
۴۵	۷۵.	۲..	۱..	۸..	۴..	۶۱/۶۰۳	۱۴/۵۰۳
۴۶	۶۵.	۱۵	۲..	۸..	۴..	۳۲/۷۰۹	۴/۲۹۹
۴۷	۶۵.	۲..	.	۱..	۴..	۶۷/۲۵۴	۰/۳۴۸
۴۸	۸۵.	۲۵	.	۸..	۴..	۹۱/۴۲۲	۲۳/۲۱۴
۴۹	۸۵.	۲۵	۲..	۹..	۳..	۶۳/۷۷۲	۴۷/۳۷۷
۵۰	۶۵.	۲..	۲..	۹..	۲..	۵۵/۴۵۳	۳۶/۸۰۷
۵۱	۸۵.	۲۵	۲..	۸..	۳..	۶۲/۵۵۲	۴۶/۸۷۸
۵۲	۷۵.	۲۵	۱..	۹..	۴..	۶۵/۳۴۷	۱۲/۹۴۴
۵۳	۸۵.	۲..	.	۱..	۳..	۸۸/۴۳۱	۳۶/۶۰۷
۵۴	۷۵.	۲۵	.	۸..	۲..	۸۷/۵۳۹	۴۵/۷۹۱
۵۵	۶۵.	۲..	۲..	۱..	۲..	۸۷/۵۳۹	۴۵/۷۹۱
۵۶	۶۵.	۲..	۲..	۱..	۴..	۲۳/۰۴۲	۳/۱۳۸
۵۷	۷۵.	۲..	۲..	۱..	۳..	۴۹/۷۴۱	۳۲/۷۳۱
۵۸	۷۵.	۲۵	۲..	۱..	۲..	۶۵/۹۷	۵۴/۶۴۳
۵۹	۷۵.	۱۵	۱..	۸..	۴..	۵۹/۹۶۶	۱۵/۵۱۳
۶۰	۶۵.	۲۵	۲..	۸..	۲..	۵۵/۱۶	۳۴/۶۹۳
۶۱	۸۵.	۱۵	۲..	۹..	۲..	۷۲/۲۹۳	۶۴/۳۶۷
۶۲	۸۵.	۲..	.	۹..	۳..	۸۹/۹۵۸	۳۷/۲۳۹
۶۳	۷۵.	۲..	.	۱..	۳..	۷۷/۹۹۱	۲۵/۸۸۲
۶۴	۸۵.	۱۵	۲..	۸..	۴..	۵۱/۷۶۱	۳۰/۳۶۸
۶۵	۷۵.	۱۵	.	۱..	۲..	۸۱/۸۹۷	۴۳/۹۲
۶۶	۷۵.	۲۵	۱..	۱..	۳..	۶۸/۰۴۹	۲۸/۳۹
۶۷	۸۵.	۲..	۲..	۸..	۴..	۵۳/۱۵۱	۲۹/۷۶
۶۸	۶۵.	۲..	۱..	۸..	۴..	۵۱/۳۴۶	۰/۹۶۸
۶۹	۷۵.	۲۵	۲..	۹..	۳..	۵۳/۴۸۷	۳۱/۷۵
۷۰	۷۵.	۱۵	.	۸..	۲..	۸۱/۸۲۹	۴۳/۸۲۶
۷۱	۶۵.	۱۵	۲..	۱..	۲..	۵۵/۲۱۶	۳۷/۳۳
۷۲	۸۵.	۲۵	.	۹..	۳..	۹۳/۲۷	۳۸/۴۱۶
۷۳	۸۵.	۲..	.	۸..	۴..	۸۸/۱۴۲	۲۴/۲۶۱
۷۴	۸۵.	۱۵	۱..	۹..	۳..	۷۴/۲۳۱	۴۲/۵۰۸
۷۵	۶۵.	۱۵	.	۹..	۴..	۶۶/۷۸۴	۲۰/۴۷۲
۷۶	۷۵.	۱۵	۱..	۱..	۴..	۵۸/۹۶۸	۰/۲۶
۷۷	۸۵.	۱۵	۱..	۸..	۳..	۷۳/۴۵۷	۴۱/۷۴۳
۷۸	۸۵.	۱۵	۱..	۹..	۴..	۷۰/۵۸۶	۲۸/۴۸۸
۷۹	۷۵.	۲..	.	۸..	۳..	۷۸/۰۱۴	۲۵/۹۸
۸۰	۷۵.	۲۵	۱..	۸..	۳..	۶۷/۷۹۴	۲۸/۵۴۲
۸۱	۷۵.	۱۵	۲..	۱..	۴..	۴۰/۴۴۳	۱۷/۹۷۵
۸۲	۸۵.	۲..	۲..	۹..	۲..	۷۴/۱۵۵	۶۵/۵۸۱
۸۳	۶۵.	۲۵	۱..	۱..	۲..	۶۶/۵۷۳	۳۰/۸۷۶
۸۴	۶۵.	۲..	۲..	۱..	۳..	۳۹/۹۷۸	۱۶/۳۶۷

۸۵	۷۵.	۱۵	۱.	۱..	۳..	۶۲/۴۳۱	۲۹/۷۱۶
۸۶	۶۵.	۲.	۲.	۸.	۳..	۴۰/۴۴۱	۱۶/۴۰۶
۸۷	۸۵.	۲.	۲.	۱..	۳..	۵۹/۵۵۲	۴۶/۴۵۲
۸۸	۶۵.	۲۵	.	۹.	۲..	۷۷/۰۹۹	۲۶/۵۳
۸۹	۸۵.	۱۵	۱.	۸.	۴..	۶۹/۹۳۳	۲۷/۹۷۵
۹۰	۷۵.	۲.	۱.	۹.	۴..	۶۲/۴۷	۱۴/۷۲۳
۹۱	۶۵.	۲۵	۱.	۸.	۲..	۶۶/۰۲۷	۲۹/۸۰۵
۹۲	۸۵.	۱۵	۲.	۱..	۴..	۴۹/۹۴۲	۳۰/۵۷۱
۹۳	۶۵.	۲۵	.	۱..	۳..	۶۹/۷	۶/۰۸
۹۴	۸۵.	۱۵	.	۸.	۲..	۹۳/۰۸۵	۴۹/۹۷۱
۹۵	۶۵.	۲۵	۱.	۹.	۳..	۵۸/۰۲۴	۱۱/۴۶۲
۹۶	۶۵.	۲۵	۱.	۹.	۲..	۶۷/۰۲۷	۳۱/۴۶۷
۹۷	۷۵.	۲.	۲.	۱..	۲..	۶۲/۷۰۶	۵۵/۷۱۶
۹۸	۶۵.	۲۵	۲.	۱..	۴..	۳۵/۹۷۷	۱/۹۵
۹۹	۶۵.	۲.	.	۹.	۳..	۶۸/۷۹۹	۹/۸۰۹
۱۰۰	۸۵.	۱۵	۲.	۸.	۳..	۵۸/۴۴۲	۴۶/۴۵۳
۱۰۱	۷۵.	۲۵	۲.	۹.	۲..	۶۶/۸۱۸	۵۵/۶۳۷
۱۰۲	۶۵.	۱۵	.	۹.	۲..	۷۲/۳۴	۲۹/۰۳۳
۱۰۳	۸۵.	۱۵	.	۹.	۲..	۷۱/۹۰۳	۲۷/۷۰۵
۱۰۴	۸۵.	۲.	۲.	۹.	۴..	۵۳/۶۶۶	۳۰/۲۲۹
۱۰۵	۷۵.	۲.	۲.	۹.	۲..	۶۳/۸۰۶	۵۶/۸۰۱
۱۰۶	۶۵.	۲.	۱.	۹.	۳..	۵۵/۴۶۵	۱۲/۳۹
۱۰۷	۷۵.	۲۵	.	۱..	۲..	۸۷/۰۲۴	۴۵/۱۴۳
۱۰۸	۶۵.	۲۵	۲.	۸.	۴..	۳۵/۳۶۵	۱/۵۸۵
۱۰۹	۶۵.	۱۵	۲.	۹.	۲..	۵۵/۰۱۸	۳۶/۴۵
۱۱۰	۶۵.	۲۵	۱.	۸.	۴..	۵۳/۲۲۶	۰/۰۹۸
۱۱۱	۸۵.	۲۵	۲.	۹.	۴..	۵۶/۷۸۷	۲۸/۹۴۷
۱۱۲	۷۵.	۲.	۱.	۸.	۳..	۶۵/۰۲۸	۲۹/۸۳۵
۱۱۳	۸۵.	۲.	۲.	۸.	۳..	۵۹/۹۸۱	۴۷/۰۴۵
۱۱۴	۸۵.	۲.	۱.	۱..	۲..	۸۵/۹۰۳	۵۹/۱۳۷
۱۱۵	۶۵.	۲۵	.	۱..	۴..	۶۹/۷۳۴	۰/۰۱۱
۱۱۶	۶۵.	۲.	.	۹.	۲..	۷۳/۹۱۵	۲۶/۷۳۹
۱۱۷	۷۵.	۲.	۲.	۸.	۲..	۶۳/۰۶۴	۵۵/۷۱۲
۱۱۸	۸۵.	۲.	.	۱..	۴..	۸۷/۶۷۷	۲۳/۰۱۹
۱۱۹	۶۵.	۲.	.	۹.	۴..	۶۸/۶۴۸	۰/۱۱۹
۱۲۰	۸۵.	۱۵	۲.	۸.	۲..	۷۱/۷۱۵	۶۳/۰۸۵
۱۲۱	۷۵.	۲.	۱.	۸.	۲..	۷۵/۰۲	۵۱/۸۲۱
۱۲۲	۸۵.	۲.	.	۸.	۳..	۸۸/۴۴۹	۳۶/۶۱۴
۱۲۳	۷۵.	۲.	۲.	۹.	۳..	۵۰/۰۵۵۵	۳۲/۲۸۲
۱۲۴	۸۵.	۱۵	۱.	۹.	۲..	۸۴/۸۱۸	۵۸/۰۵۹
۱۲۵	۶۵.	۲۵	.	۱..	۲..	۷۵/۳۶۵	۲۴/۴۷۵
۱۲۶	۷۵.	۲۵	.	۹.	۳..	۸۲/۲۹۸	۲۵/۰۸۴
۱۲۷	۸۵.	۲.	۱.	۹.	۴..	۷۲/۸۶۵	۲۷/۰۵۹
۱۲۸	۸۵.	۱۵	.	۹.	۳..	۸۷/۰۸۴	۳۶/۱۵۲
۱۲۹	۶۵.	۱۵	۱.	۸.	۲..	۶۲/۲۱۵	۳۳/۴۱۵
۱۳۰	۶۵.	۱۵	۱.	۹.	۲..	۶۲/۹۱۹	۳۴/۰۰۹
۱۳۱	۷۵.	۲۵	۲.	۹.	۴..	۴۶/۰۵۲	۱۵/۳۸۷

۱۳۲	۶۵.	۲.	.	۸.	۳..	۶۷/۱۴۲	۸/۳۳۳
۱۳۳	۶۵.	۱۵	.	۸.	۴..	۶۵/۰.۸۳	.
۱۳۴	۶۵.	۲.	.	۱۰.	۲..	۷۳/۱۳۱	۲۷/۶۱۴
۱۳۵	۶۵.	۲۵	۲.	۹.	۴..	۳۶/۱۰۲	۱/۲۴۷
۱۳۶	۸۵.	۱۵	.	۱۰.	۴..	۸۵/۷۲۴	۲۴/۶۲۸
۱۳۷	۸۵.	۲.	۱.	۹.	۲..	۸۷/۳۴۲	۶۰/.۱۴
۱۳۸	۶۵.	۲۵	۲.	۹.	۲..	۵۵/۶۷۱	۳۳/۶۳
۱۳۹	۸۵.	۲۵	۲.	۹.	۲..	۷۷/۴۸۹	۶۷/۳۶۴
۱۴۰	۸۵.	۲۵	۱.	۸.	۴..	۷۴/۷۵۸	۲۶/۳۰۵
۱۴۱	۷۵.	۲.	.	۹.	۲..	۸۵/۷۹۸	۴۵/۷۶۶
۱۴۲	۷۵.	۱۵	.	۱۰.	۳..	۷۵/۴۸۹	۲۵/۶۸۱
۱۴۳	۸۵.	۲.	.	۸.	۲..	۹۵/۶۸۸	۵۱/۳۶۸
۱۴۴	۷۵.	۲.	.	۹.	۴..	۷۸/۸.۶	۱۰/۶۹۱
۱۴۵	۷۵.	۱۵	۲.	۸.	۲..	۶۱/۱۲۳	۵۴/۸۱
۱۴۶	۷۵.	۲۵	۱.	۱۰.	۴..	۶۴/۴۲۴	۱۲/۶۶۹
۱۴۷	۶۵.	۱۵	۱.	۸.	۳..	۵۳/۴۶۹	۱۴/۶۴۵
۱۴۸	۶۵.	۲.	۱.	۱۰.	۴..	۵۰/۷۷۳	۱/.۲۴
۱۴۹	۸۵.	۲.	۱.	۸.	۳..	۷۵/۴۷۵	۴۲/۸۲۳
۱۵۰	۶۵.	۱۵	۱.	۱۰.	۴..	۴۸/۹۷۵	۲/۱۷۹
۱۵۱	۷۵.	۱۵	.	۸.	۴..	۷۵/۵۷۸	۱۲/۴۸۷
۱۵۲	۷۵.	۱۵	.	۹.	۳..	۷۷/۲۲۱	۲۷/.۰۸۷
۱۵۳	۶۵.	۱۵	۲.	۱۰.	۴..	۳۰/۸۲۴	۳/۳۷
۱۵۴	۶۵.	۲۵	.	۸.	۳..	۷۰/.۰۶۸	۷/۳۲۲
۱۵۵	۸۵.	۱۵	۱.	۱۰.	۳..	۷۲/۷.۳	۴۱/۹۴۸
۱۵۶	۶۵.	۱۵	.	۱۰.	۲..	۷۰/۷.۷	۲۷/۱۸۸
۱۵۷	۸۵.	۲.	.	۹.	۲..	۹۶/۶۴۸	۵۱/۸۸۹
۱۵۸	۸۵.	۲۵	۱.	۹.	۴..	۷۶/۱۲۲	۲۶/۶۷
۱۵۹	۸۵.	۲۵	۱.	۱۰.	۲..	۸۹/.۰۵۲	۶۰/۶۴۷
۱۶۰	۷۵.	۱۵	۲.	۹.	۳..	۴۸/۹۴۳	۳۴/.۰۲۷
۱۶۱	۶۵.	۲.	.	۱۰.	۳..	۶۷/۵۵	۹/۴۰۷
۱۶۲	۸۵.	۲.	۱.	۸.	۴..	۷۱/۵۱۳	۲۶/۷۵۸
۱۶۳	۷۵.	۱۵	۱.	۸.	۲..	۷۳/.۰۱۷	۵۱/۵۰۲
۱۶۴	۷۵.	۲۵	۲.	۸.	۲..	۶۵/۶۲	۵۴/۹۲۹
۱۶۵	۶۵.	۱۵	.	۱۰.	۳..	۶۵/۶۹۶	۱/.۷۸
۱۶۶	۶۵.	۲۵	۱.	۸.	۳..	۵۷/۱۴۷	۱۱/۳۶
۱۶۷	۸۵.	۱۵	.	۹.	۴..	۸۷/۳۳۸	۲۵/۲۳۱
۱۶۸	۸۵.	۲۵	۲.	۱۰.	۴..	۳۸/۲۰۵	۱۲/۳۸۶
۱۶۹	۸۵.	۲.	۲.	۸.	۲..	۷۳/۵۸۷	۶۴/۶۵۷
۱۷۰	۷۵.	۱۵	۲.	۹.	۲..	۶۱/۵۳۲	۵۵/۸۹۴
۱۷۱	۶۵.	۱۵	۲.	۱۰.	۳..	۴۰/۲۶۵	۱۶/۵۹۴
۱۷۲	۷۵.	۲۵	۲.	۸.	۴..	۴۵/۴۸۷	۱۵/۲۱۳
۱۷۳	۶۵.	۲.	.	۸.	۲..	۷۳/۱۳۹	۲۷/۷۵۳
۱۷۴	۷۵.	۲۵	.	۹.	۴..	۸۲/۱۲۷	۹/۷۵۱
۱۷۵	۷۵.	۱۵	۲.	۱۰.	۳..	۴۷/۳۱۸	۳۲/۷۶۵
۱۷۶	۷۵.	۲۵	.	۱۰.	۴..	۸۰/۵۸۲	۹/۵۰۲
۱۷۷	۷۵.	۱۵	۱.	۹.	۳..	۶۴/.۰۹۹	۳۱/.۰۴۲
۱۷۸	۸۵.	۲۵	۲.	۸.	۴..	۵۵/۵۹۲	۲۸/۵۷۵

۱۷۹	۸۵.	۲۰	۲۰	۱۰۰	۲۰۰	۷۳/۲۳۵	۶۴/۸۴۵
۱۸۰	۶۵.	۲۵	.	۸۰	۴۰۰	۶۹/۴۰۵	.
۱۸۱	۷۵.	۲۰	۱۰	۱۰۰	۳۰۰	۶۴/۹۵۸	۲۹/۸۱۱
۱۸۲	۶۵.	۲۰	۲۰	۹۰	۴۰۰	۳۳/۸۵۹	۳۱/۷۹
۱۸۳	۶۵.	۱۵	۱۰	۱۰۰	۲۰۰	۶۱/۶۸۵	۳۲/۵۴۵
۱۸۴	۸۵.	۱۵	.	۱۰۰	۲۰۰	۹۳/۰۸	۴۹/۹۶۹
۱۸۵	۷۵.	۲۰	.	۸۰	۴۰۰	۷۷/۳۱	۱۰/۵۲۳
۱۸۶	۶۵.	۱۵	.	۱۰۰	۴۰۰	۶۵/۳۸۵	۰/۵۷۱
۱۸۷	۷۵.	۱۵	۱۰	۸۰	۳۰۰	۶۳/۱۷	۲۹/۸۰۸
۱۸۸	۶۵.	۲۵	۲۰	۸۰	۳۰۰	۴۲/۳۱	۱۴/۴۵۵
۱۸۹	۷۵.	۱۵	۱۰	۹۰	۴۰۰	۶۰/۴۶۸	۱۵/۷۹۱
۱۹۰	۶۵.	۲۰	۱۰	۹۰	۲۰۰	۶۴/۴۶	۳۱/۷۱۲
۱۹۱	۸۵.	۲۵	۲۰	۸۰	۲۰۰	۷۶/۱۲۴	۶۶/۴۳۷
۱۹۲	۷۵.	۲۰	.	۱۰۰	۲۰۰	۸۳/۸۹۶	۴۴/۱۵۷
۱۹۳	۶۵.	۲۵	۱۰	۱۰۰	۴۰۰	۵۳/۵۶۱	۰/۴۸۷
۱۹۴	۸۵.	۱۵	۲۰	۱۰۰	۲۰۰	۷۰/۲۶۳	۶۳/۴۸۹
۱۹۵	۸۵.	۲۵	۲۰	۱۰۰	۲۰۰	۷۶/۸۹۴	۶۶/۴۱۲
۱۹۶	۸۵.	۱۵	۱۰	۱۰۰	۴۰۰	۶۸/۶۱۹	۲۷/۴۶۲
۱۹۷	۶۵.	۱۵	۲۰	۹۰	۳۰۰	۳۹/۵۳۱	۱۷/۹۰۷
۱۹۸	۷۵.	۱۵	۲۰	۹۰	۴۰۰	۴۱/۸۱۷	۱۷/۴۱۲
۱۹۹	۸۵.	۱۵	۱۰	۸۰	۲۰۰	۸۳/۸	۵۷/۵۳۲
۲۰۰	۸۵.	۲۵	۱۰	۸۰	۲۰۰	۸۸/۸۷۲	۶۰/۷۵۱
۲۰۱	۷۵.	۲۵	.	۸۰	۳۰۰	۸۰/۴۹۲	۲۳/۸۵۲
۲۰۲	۸۵.	۲۰	۱۰	۹۰	۳۰۰	۷۶/۵۳۹	۴۳/۴۳۷
۲۰۳	۷۵.	۲۵	۱۰	۸۰	۴۰۰	۶۴/۱۰۶	۱۲/۷۹۱
۲۰۴	۸۵.	۲۵	۱۰	۹۰	۲۰۰	۹۰/۸۶۷	۶۱/۹۰۴
۲۰۵	۶۵.	۲۰	۱۰	۸۰	۲۰۰	۶۳/۵۶۸	۳۱/۲۵۴
۲۰۶	۷۵.	۲۵	۱۰	۱۰۰	۲۰۰	۷۸/۰۷۹	۵۱/۰۱۱
۲۰۷	۶۵.	۲۰	.	۸۰	۴۰۰	۶۶/۹۱۳	۲۰/۸۳۸
۲۰۸	۸۵.	۲۵	.	۱۰۰	۳۰۰	۹۱/۷۰۲	۳۷/۵۹۸
۲۰۹	۷۵.	۲۵	.	۹۰	۲۰۰	۸۸/۹۵۹	۴۶/۱۸۹
۲۱۰	۸۵.	۲۰	۲۰	۹۰	۳۰۰	۶۰/۴۲۳	۴۷/۲۶۷
۲۱۱	۶۵.	۱۵	۱۰	۹۰	۳۰۰	۵۳/۹۶۴	۱۴/۸۹۵
۲۱۲	۷۵.	۱۵	۲۰	۱۰۰	۲۰۰	۶۰/۳۹۴	۵۶/۱۱۳
۲۱۳	۶۵.	۲۵	.	۸۰	۲۰۰	۷۵/۸۳۷	۲۶/۱۸۷
۲۱۴	۸۵.	۱۵	۲۰	۹۰	۳۰۰	۵۸/۶۰۵	۴۷/۲۷۹
۲۱۵	۷۵.	۲۵	۱۰	۹۰	۳۰۰	۶۹/۰۰۱	۲۸/۹۲
۲۱۶	۶۵.	۱۵	۱۰	۱۰۰	۳۰۰	۵۲/۴۸۴۶	۱۳/۵۳۶
۲۱۷	۷۵.	۲۰	۱۰	۱۰۰	۲۰۰	۷۴/۰۴۰	۵۰/۰۵۰۱
۲۱۸	۷۵.	۲۵	۱۰	۸۰	۲۰۰	۷۷/۴۵۱	۵۰/۲۰۵
۲۱۹	۶۵.	۲۰	۱۰	۱۰۰	۲۰۰	۶۳/۷۴۷	۳۲/۵۷۷
۲۲۰	۶۵.	۱۵	۲۰	۸۰	۲۰۰	۵۳/۰۶۵	۳۷/۰۱۵
۲۲۱	۷۵.	۲۰	۱۰	۱۰۰	۴۰۰	۶۱/۲۷	۱۴/۴۵۳
۲۲۲	۷۵.	۲۵	۲۰	۸۰	۳۰۰	۵۲/۴۳۲	۳۱/۳۶۱
۲۲۳	۸۵.	۱۵	.	۸۰	۳۰۰	۸۵/۶۲۱	۳۵/۵۴۵
۲۲۴	۸۵.	۲۵	۱۰	۱۰۰	۴۰۰	۷۵/۶۴۹	۲۵/۹۱۶
۲۲۵	۸۵.	۲۰	۱۰	۸۰	۲۰۰	۸۵/۶۰۱	۵۸/۸۰۲

۲۲۶	۶۵.	۱۵	۲۰	۹۰	۴۰۰	۳۲/۳۳۳	۴/۳۵۸
۲۲۷	۷۵.	۲۰	۲۰	۱۰۰	۴۰۰	۴۲/۷۹۵	۱۶/۸۶۵
۲۲۸	۸۵.	۲۵	.	۹۰	۴۰۰	۹۳/۰۷۹	۲۳/۵۹۲
۲۲۹	۷۵.	۱۵	۲۰	۸۰	۳۰۰	۴۸/۷۲۹	۳۲/۵۱۴
۲۳۰	۷۵.	۱۵	۲۰	۸۰	۴۰۰	۴۲/۲۲۵	۱۷/۸۶۸
۲۳۱	۸۵.	۲۰	۲۰	۱۰۰	۴۰۰	۵۲/۵۴۷	۲۹/۷۹۲
۲۳۲	۸۵.	۲۵	۱۰	۱۰۰	۳۰۰	۷۸/۶۹۳	۴۲/۹۳۱
۲۳۳	۸۵.	۲۰	۱۰	۱۰۰	۳۰۰	۷۴/۸۸۹	۴۲/۴۲۴
۲۳۴	۶۵.	۲۵	.	۹۰	۴۰۰	۷۱/۱۷۷	۰/۰۰۷
۲۳۵	۷۵.	۲۰	۱۰	۹۰	۳۰۰	۶۵/۸۲۷	۲۹/۳۳۹
۲۳۶	۶۵.	۱۵	.	۸۰	۳۰۰	۶۵/۷۱۳	۱۰/۸۸۴
۲۳۷	۶۵.	۲۵	۱۰	۹۰	۴۰۰	۵۴/۵۶۸	۰/۸۱۲
۲۳۸	۸۵.	۱۵	.	۱۰۰	۳۰۰	۸۵/۵۹۲	۱۲/۴۱۵
۲۳۹	۷۵.	۱۵	.	۱۰۰	۴۰۰	۷۶/۰۵۳	۱۶/۲۹۲
۲۴۰	۷۵.	۲۰	۲۰	۹۰	۴۰۰	۴۳/۵۹	۱۳/۰۶۷
۲۴۱	۶۵.	۲۵	۲۰	۱۰۰	۳۰۰	۴۲/۶۴۲	۴۰/۵۳۶
۲۴۲	۸۵.	۲۵	.	۹۰	۲۰۰	۱۰۰/۸۱۶	۵۴/۱۲۱
۲۴۳	۸۵.	۱۵	۲۰	۱۰۰	۳۰۰	۵۶/۹۹۶	۴۶/۶۴۹